

А. А. Каминский¹, Л. А. Кипнис², Т. В. Полищук²

О НАПРЯЖЕННОМ СОСТОЯНИИ ВБЛИЗИ МАЛОМАСШТАБНОЙ ТРЕЩИНЫ В УГЛОВОЙ ТОЧКЕ ГРАНИЦЫ РАЗДЕЛА СРЕД

¹Институт механики им. С.П. Тимошенко НАНУ,

ул. Нестерова, 3, 03057, Киев, Украина; e-mail: fract@inmech.kiev.ua;

²Уманский государственный педагогический университет им. П.Тычины,

ул. Садовая, 2, 20300, Умань, Украина; e-mail: polischuk_t@ukr.net

Abstract. The stress of piece-homogeneous isotropic elastic body near the small-scale mode I crack at the corner point of the interface of media is investigated. An exact solution of the corresponding problem of theory of elasticity is constructed by the Wiener – Hopf method.

Keywords: isotropic elastic body, interface, corner point, small-scale crack, Wiener–Hopf method.

Введение.

Начало разрушения деформируемого твердого тела в первую очередь следует ожидать вблизи различных угловых точек, представляющих собой остроконечные концентраторы напряжений. В соответствующей задаче линейной теории упругости при приближении точки тела к угловой точке – остроконечному концентратору напряжения стремятся к бесконечности. Вследствие чрезвычайно высокой концентрации напряжений в угловой точке, возможны разрыв сплошности вблизи нее и зарождение исходящих из нее трещин, длины которых в значительной степени меньше размеров тела (маломасштабные трещины). Если равновесие зародившейся трещины окажется неустойчивым, то после достижения состояния предельного равновесия режим ее развития будет динамическим. Это может привести к непредвиденному катастрофическому разрушению тела. Поэтому информация о напряженном состоянии упругого тела вблизи трещин в угловых точках является особенно ценной при решении вопросов, связанных с разрушением конструкций.

Исследованию напряженного состояния вблизи трещин в угловых точках упругих тел посвящено большое число работ. В основном, исследованы задачи теории упругости о трещинах и других линиях разрыва смещения в вершине однородного клина [1, 5, 10, 14, 15, 17, 20, 24 – 27]. Для кусочно-однородного тела в указанном направлении изучены случаи, когда угловой точкой является конец трещины: рассмотрены задачи теории упругости о линиях разрыва смещения в концах межфазных трещин и трещин, выходящих на границу раздела сред [3, 4, 6, 8]. В [9] решена задача теории упругости о маломасштабных межфазных сдвиговых трещинах в угловой точке границы раздела сред.

Ниже проведено исследование напряженного состояния кусочно-однородного изотропного линейно-упругого тела вблизи маломасштабной трещины нормального разрыва в угловой точке границы раздела сред.

1. Постановка задачи. Основные уравнения.

В условиях плоской деформации в рамках статической симметричной задачи рассмотрим кусочно-однородное тело с границей раздела сред в форме сторон угла, составленное из изотропных упругих частей с модулями Юнга E_1 , E_2 и коэффициентами Пуассона ν_1 , ν_2 (рис. 1).

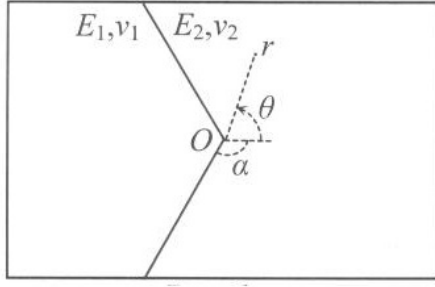


Рис. 1

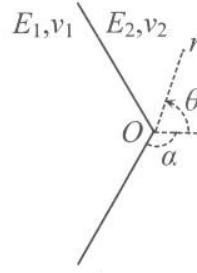


Рис. 2

В силу общих положений о поведении напряжений вблизи угловых точек упругих тел [13] угловая точка границы раздела сред O представляет собой концентратор напряжений со степенной особенностью. Главные члены разложений напряжений в асимптотические ряды при $r \rightarrow 0$ являются решением соответствующей однородной задачи теории упругости (задача К, рис. 2) для кусочно-однородной плоскости с границей раздела сред в форме сторон угла, порождаемым единственным на интервале $]-1; 0[$ корнем λ_0 ее характеристического уравнения

$$\begin{aligned} & [\sin 2(\lambda+1)\alpha + (\lambda+1)\sin 2\alpha][\varkappa_1 \sin 2(\lambda+1)(\pi-\alpha) + (\lambda+1)\sin 2\alpha] + \\ & + \{(1+\varkappa_1)(1+\varkappa_2)\sin^2 \lambda\pi - [\sin 2(\lambda+1)\alpha + (\lambda+1)\sin 2\alpha]\} \times \\ & \times [\varkappa_1 \sin 2(\lambda+1)(\pi-\alpha) + (\lambda+1)\sin 2\alpha] - [\sin 2(\lambda+1)(\pi-\alpha) - (\lambda+1)\sin 2\alpha] \times \\ & \times [\varkappa_2 \sin 2(\lambda+1)\alpha - (\lambda+1)\sin 2\alpha] \} e + \\ & + [\sin 2(\lambda+1)(\pi-\alpha) - (\lambda+1)\sin 2\alpha][\varkappa_2 \sin 2(\lambda+1)\alpha - (\lambda+1)\sin 2\alpha] e^2 = 0; \\ & e = \frac{1+\nu_2}{1+\nu_1} e_0; \quad e_0 = \frac{E_1}{E_2}; \quad \varkappa_{1,2} = 3 - 4\nu_{1,2}. \end{aligned}$$

Широкие классы подобных однородных задач теории упругости для кусочно-однородных тел клиновидной конфигурации, которые могут быть решены методом разделения переменных, рассмотрены в [19, 28].

Имеет место формула

$$\begin{aligned} \sigma_\theta(r, 0) &= Cgr^{\lambda_0} + o(r^{\lambda_0}) \quad (r \rightarrow 0); \quad g = g_1 + (\lambda_0 + 2)g_2; \\ g_1 &= (1+\varkappa_2)\lambda_0^2 \sin 2\alpha \sin \lambda_0 \alpha \cos \lambda_0 \alpha \cos(\lambda_0 + 2)\alpha - \\ & - (1+\varkappa_1)\lambda_0^2 \sin 2\alpha \sin \lambda_0 \alpha \cos \lambda_0 (\pi - \alpha) \cos[\lambda_0 (\pi - \alpha) - 2\alpha] - \\ & - (1+\varkappa_1)(1-\varkappa_2)\lambda_0 \sin \lambda_0 \alpha \cos \lambda_0 \alpha \sin(\lambda_0 + 2)\alpha \cos \lambda_0 (\pi - \alpha) \cos[\lambda_0 (\pi - \alpha) - 2\alpha] - \\ & - (1-\varkappa_1)(1+\varkappa_2)\lambda_0 \sin \lambda_0 \alpha \cos \lambda_0 \alpha \cos(\lambda_0 + 2)\alpha \cos \lambda_0 (\pi - \alpha) \sin[\lambda_0 (\pi - \alpha) - 2\alpha] - \\ & - (1-e)(\lambda_0 + 1 - \varkappa_2)\lambda_0^2 \sin^2 2\alpha \cos \lambda_0 \alpha - \end{aligned}$$

$$\begin{aligned}
& -(2e-1+\varepsilon_1)\lambda_0(\lambda_0+1-\varepsilon_2)\sin 2\alpha \cos \lambda_0\alpha \cos \lambda_0(\pi-\alpha)\sin[\lambda_0(\pi-\alpha)-2\alpha]- \\
& \quad -[2-e(1-\varepsilon_2)]\lambda_0(\lambda_0+1-\varepsilon_2)\sin 2\alpha \cos^2 \lambda_0\alpha \sin(\lambda_0+2)\alpha - \\
& -2[(1-\varepsilon_2)e-1+\varepsilon_1](\lambda_0+1-\varepsilon_2)\cos^2 \lambda_0\alpha \sin(\lambda_0+2)\alpha \cos \lambda_0(\pi-\alpha)\sin[\lambda_0(\pi-\alpha)-2\alpha]; \\
& \quad g_2 = (1+\varepsilon_1)\lambda_0 \sin 2\alpha \sin(\lambda_0+2)\alpha \cos \lambda_0(\pi-\alpha)\cos[\lambda_0(\pi-\alpha)-2\alpha]+ \\
& \quad + (1+\varepsilon_1)(1-\varepsilon_2)\cos \lambda_0\alpha \sin^2(\lambda_0+2)\alpha \cos \lambda_0(\pi-\alpha)\cos[\lambda_0(\pi-\alpha)-2\alpha]- \\
& \quad - (1+\varepsilon_2)\lambda_0 \sin 2\alpha \cos \lambda_0\alpha \sin(\lambda_0+2)\alpha \cos(\lambda_0+2)\alpha + \\
& \quad + (1-\varepsilon_1)(1+\varepsilon_2)\cos \lambda_0\alpha \sin(\lambda_0+2)\alpha \cos(\lambda_0+2)\alpha \cos \lambda_0(\pi-\alpha)\sin[\lambda_0(\pi-\alpha)-2\alpha]+ \\
& \quad \quad + (1-e)\lambda_0^2 \sin^2 2\alpha \cos(\lambda_0+2)\alpha + \\
& \quad + (2e-1+\varepsilon_1)\lambda_0 \sin 2\alpha \cos(\lambda_0+2)\alpha \cos \lambda_0(\pi-\alpha)\sin[\lambda_0(\pi-\alpha)-2\alpha]+ \\
& \quad + [2-e(1-\varepsilon_2)]\lambda_0 \sin 2\alpha \cos \lambda_0\alpha \sin(\lambda_0+2)\alpha \cos(\lambda_0+2)\alpha + \\
& \quad + 2[(1-\varepsilon_2)e-1+\varepsilon_1]\cos \lambda_0\alpha \sin(\lambda_0+2)\alpha \cos(\lambda_0+2)\alpha \cos \lambda_0(\pi-\alpha)\sin[\lambda_0(\pi-\alpha)-2\alpha].
\end{aligned}$$

Постоянная C должна определяться из решения каждой конкретной задачи теории упругости, приведенной на рис. 1.

Результаты расчетов показывают, что $\lambda_0 > -1/2$; $\lambda_0(0) = \lambda_0(\pi/2) = \lambda_0(\pi) = 0$; $g(\alpha) < 0$ при $\alpha \in]0; \pi/2[$; $g(\alpha) > 0$ при $\alpha \in]\pi/2; \pi[$; $g(0) = g(\pi/2) = g(\pi) = 0$. Если материалы одинаковы, то λ_0 и g равны нулю. Некоторые значения λ_0 приведены в табл. 1 ($\nu_1 = \nu_2 = 0,3$), где значения α даны в градусах.

Таблица 1

α , град.	e_0			
	2	3	5	10
15	-0,036	-0,068	-0,122	-0,215
30	-0,075	-0,132	-0,232	-0,310
45	-0,112	-0,180	-0,258	-0,332
60	-0,112	-0,184	-0,248	-0,308
75	-0,086	-0,127	-0,167	-0,203
105	-0,025	-0,037	-0,049	-0,059
120	-0,054	-0,081	-0,104	-0,124
135	-0,089	-0,130	-0,168	-0,202
150	-0,117	-0,173	-0,228	-0,278
165	-0,104	-0,168	-0,241	-0,318

Предположим, что $Cg > 0$. Из предыдущей формулы следует, что $\sigma_\theta(r, 0) \rightarrow +\infty$ при $r \rightarrow 0$, а поэтому при $\theta = 0$ вблизи угловой точки нормальные напряжения явля-

ются растягивающими. При этом согласно приведенной информации о функции g , если $C > 0$ ($C < 0$), то они будут растягивающими, когда $\alpha \in]\pi/2; \pi[$ ($\alpha \in]0; \pi/2[$). В такой ситуации вследствие чрезвычайно высокой концентрации напряжений в угловой точке, возможны разрыв сплошности вблизи нее при $\theta = 0$ и зарождение исходящей из нее трещины нормального разрыва, длина l которой в значительной степени меньше размеров тела (рис. 3).

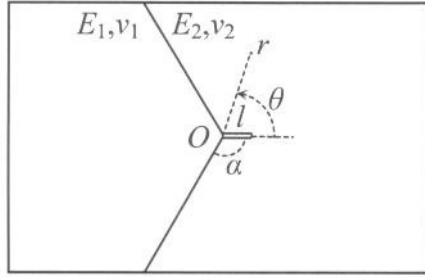


Рис. 3

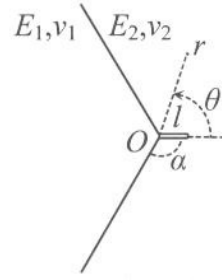


Рис. 4

Ставится задача: исследовать напряженное состояние вблизи конца зародившейся маломасштабной трещины, определить условие срагивания трещины, исследовать ее равновесие на устойчивость и проанализировать поведение напряжений вблизи угловой точки.

С учетом малости трещины приходим к плоской статической симметричной задаче теории упругости для кусочно-однородной изотропной плоскости с границей раздела сред в форме сторон угла, содержащей трещину в угловой точке (рис. 4). На бесконечности задана асимптотика поля напряжений, представляющая собой решение аналогичной задачи без трещины (решение задачи К, о котором упоминалось выше). Произвольная постоянная C , входящая в указанное решение, предполагается заданной. Она характеризует интенсивность внешнего поля и должна определяться из решения каждой конкретной внешней задачи (рис. 1).

Граничные условия рассматриваемой задачи теории упругости (рис. 4) имеют следующий вид:

$$\theta = \alpha, \langle \sigma_\theta \rangle = \langle \tau_{r\theta} \rangle = 0, \langle u_\theta \rangle = \langle u_r \rangle = 0; \quad (1)$$

$$\theta = \pi, \tau_{r\theta} = 0, u_\theta = 0; \quad \theta = 0, \tau_{r\theta} = 0; \quad (2)$$

$$\theta = 0, r < l, \sigma_\theta = 0; \quad \theta = 0, r > l, u_\theta = 0;$$

$$\theta = 0, r \rightarrow \infty, \sigma_\theta = Cgr^{2\alpha} + o\left(\frac{1}{r}\right), \quad (3)$$

где $0 \leq \theta \leq \pi$; $\langle a \rangle$ – скачок a .

Решение сформулированной задачи теории упругости (рис. 4) представляет собой сумму решений следующих двух задач. Первая (задача 1) отличается от второй тем, что вместо первого из условий (2) имеем

$$\theta = 0, r < l, \sigma_\theta = -Cgr^{2\alpha}, \quad (4)$$

а на бесконечности напряжения затухают как $o(1/r)$ (в (3) отсутствует первое слагаемое). Вторая задача – задача К. Поскольку решение второй задачи известно, достаточно построить решение первой.

В современной механике разрушения развиты эффективные методы решения соответствующих краевых задач [12, 18, 21 – 23]. В частности, для построения точных решений плоских статических задач теории упругости о трещинах в телах клиновидной конфигурации во многих случаях используется метод Винера – Хопфа в сочетании с аппаратом интегрального преобразования Меллина [11, 16]. Ниже этот метод применен для решения задачи 1.

2. Вывод функционального уравнения Винера–Хопфа.

Рассмотрим первую основную задачу теории упругости для клина $0 \leq \theta \leq \alpha$.

Применяя преобразование Меллина

$$m^*(p) = \int_0^{\infty} m(r) r^p dr$$

с комплексным параметром p ($-\varepsilon < \operatorname{Re} p < 0$, ε – достаточно малое положительное число) к уравнениям равновесия, условию совместности деформаций и закону Гука, получаем следующие выражения для меллиновских трансформант:

$$\begin{aligned} \sigma_{\theta}^* &= A_1 \sin(p+1)\theta + A_2 \sin(p-1)\theta + A_3 \cos(p+1)\theta + A_4 \cos(p-1)\theta; \\ \tau_{r,\theta}^* &= \frac{1}{p-1} [A_1(p+1)\cos(p+1)\theta + A_2(p-1)\cos(p-1)\theta - \\ &\quad - A_3(p+1)\sin(p+1)\theta - A_4(p-1)\sin(p-1)\theta]; \\ \sigma_r^* &= -\frac{1}{p-1} [A_1(p+3)\sin(p+1)\theta + A_2(p-1)\sin(p-1)\theta + \\ &\quad + A_3(p+3)\cos(p+1)\theta + A_4(p-1)\cos(p-1)\theta]; \end{aligned} \quad (5)$$

$$\begin{aligned} \left(\frac{\partial u_{\theta}}{\partial r} \right)^* &= \frac{1+\nu_2}{E_2(p-1)} [A_1(p-\varkappa_2)\cos(p+1)\theta + A_2(p-1)\cos(p-1)\theta - \\ &\quad - A_3(p-\varkappa_2)\sin(p+1)\theta - A_4(p-1)\sin(p-1)\theta], \end{aligned}$$

$$\begin{aligned} \left(\frac{\partial u_r}{\partial r} \right)^* &= -\frac{1+\nu_2}{E_2(p-1)} [A_1(p+\varkappa_2)\sin(p+1)\theta + A_2(p-1)\sin(p-1)\theta + \\ &\quad + A_3(p+\varkappa_2)\cos(p+1)\theta + A_4(p-1)\cos(p-1)\theta] \end{aligned}$$

($A_j(p)$, $j=1,2,3,4$ – неизвестные функции).

Исходя из граничных условий (1), с помощью (5) приходим к системе линейных уравнений

$$A_1 \sin(p+1)\alpha + A_2 \sin(p-1)\alpha + A_3 \cos(p+1)\alpha + A_4 \cos(p-1)\alpha = \sigma_{\theta}^*(p, \alpha);$$

$$A_1(p+1)\cos(p+1)\alpha + A_2(p-1)\cos(p-1)\alpha - A_3(p+1)\sin(p+1)\alpha -$$

$$-A_4(p-1)\sin(p-1)\alpha = (p-1)\tau_{r,\theta}^*(p, \alpha); \quad A_3 + A_4 = \sigma_r^*(p, 0);$$

$$A_1(p+1) + A_2(p-1) = 0.$$

Решение этой системы имеет вид

$$\begin{aligned}
A_1 &= (p-1)\delta_A^{-1}(p)[2(\sin p\alpha \cos \alpha + p \cos p\alpha \sin \alpha)\sigma_\theta^*(p, \alpha) - \\
&- 2(p-1)\sin p\alpha \sin \alpha \tau_{r\theta}^*(p, \alpha) - (\sin 2p\alpha + p \sin 2\alpha)\sigma_\theta^*(p, 0)]; \\
A_2 &= -(p+1)\delta_A^{-1}(p)[2(\sin p\alpha \cos \alpha + p \cos p\alpha \sin \alpha)\sigma_\theta^*(p, \alpha) - \\
&- 2(p-1)\sin p\alpha \sin \alpha \tau_{r\theta}^*(p, \alpha) - (\sin 2p\alpha + p \sin 2\alpha)\sigma_\theta^*(p, 0)]; \\
A_3 &= -2(p-1)\delta_A^{-1}(p)[(p+1)\sin p\alpha \sin \alpha \sigma_\theta^*(p, \alpha) - \\
&- (\sin p\alpha \cos \alpha - p \cos p\alpha \sin \alpha)\tau_{r\theta}^*(p, \alpha) - (\sin^2 p\alpha + p \sin^2 \alpha)\sigma_\theta^*(p, 0)]; \\
A_4 &= 2\delta_A^{-1}(p)\{(p-1)[(p+1)\sin p\alpha \sin \alpha \sigma_\theta^*(p, \alpha) - \\
&- (\sin p\alpha \cos \alpha - p \cos p\alpha \sin \alpha)\tau_{r\theta}^*(p, \alpha)] - (p+1)(\sin^2 p\alpha - p \sin^2 \alpha)\sigma_\theta^*(p, 0)\}; \\
\delta_A(p) &= -4(\sin^2 p\alpha - p^2 \sin^2 \alpha).
\end{aligned} \tag{6}$$

Подставив (6) в (5), определим

$$\begin{aligned}
\left. \left(\frac{\partial u_\theta}{\partial r} \right)^* \right|_{\theta=\alpha-0} &= \frac{1+\nu_2}{E_2} \delta_A^{-1}(p) \{ -(1+\varkappa_2)(\sin 2p\alpha + p \sin 2\alpha)\sigma_\theta^*(p, \alpha) - \\
&- 2[(1-\varkappa_2)\sin^2 p\alpha - 2p^2 \sin^2 \alpha + (1+\varkappa_2)p \sin^2 \alpha] \tau_{r\theta}^*(p, \alpha) + \\
&+ 2(1+\varkappa_2)(\sin p\alpha \cos \alpha + p \cos p\alpha \sin \alpha)\sigma_\theta^*(p, 0) \};
\end{aligned} \tag{7}$$

$$\begin{aligned}
\left. \left(\frac{\partial u_r}{\partial r} \right)^* \right|_{\theta=\alpha-0} &= -\frac{1+\nu_2}{E_2} \delta_A^{-1}(p) \{ -2[(1-\varkappa_2)\sin^2 p\alpha - 2p^2 \sin^2 \alpha - \\
&- (1+\varkappa_2)p \sin^2 \alpha] \sigma_\theta^*(p, \alpha) + (1+\varkappa_2)(\sin 2p\alpha - p \sin 2\alpha)\tau_{r\theta}^*(p, \alpha) - \\
&- 2(1+\varkappa_2)(p+1)\sin p\alpha \sin \alpha \sigma_\theta^*(p, 0) \};
\end{aligned}$$

$$\begin{aligned}
\left. \left(\frac{\partial u_\theta}{\partial r} \right)^* \right|_{\theta=0} &= \frac{1+\nu_2}{E_2} (1+\varkappa_2)\delta_A^{-1}(p) [-2(\sin p\alpha \cos \alpha + p \cos p\alpha \sin \alpha)\sigma_\theta^*(p, \alpha) + \\
&+ 2(p-1)\sin p\alpha \sin \alpha \tau_{r\theta}^*(p, \alpha) + (\sin 2p\alpha + p \sin 2\alpha)\sigma_\theta^*(p, 0)]
\end{aligned} \tag{8}$$

Смешанной задаче теории упругости для клина $\alpha \leq \theta \leq \pi$ соответствует система линейных уравнений

$$B_1 \sin(p+1)\alpha + B_2 \sin(p-1)\alpha + B_3 \cos(p+1)\alpha + B_4 \cos(p-1)\alpha = \sigma_\theta^*(p, \alpha);$$

$$B_1(p+1)\cos(p+1)\alpha + B_2(p-1)\cos(p-1)\alpha - B_3(p+1)\sin(p+1)\alpha - \\ - B_4(p-1)\sin(p-1)\alpha = (p-1)\tau_{r\theta}^*(p, \alpha);$$

$$B_1(p - \varkappa_1) \cos p\pi + B_2(p-1) \cos p\pi - B_3(p - \varkappa_1) \sin p\pi - B_4(p-1) \sin p\pi = 0;$$

$$B_1(p+1) \cos p\pi + B_2(p-1) \cos p\pi - B_3(p+1) \sin p\pi - B_4(p-1) \sin p\pi = 0$$

($B_j(p)$, $j = 1, 2, 3, 4$ – неизвестные функции). Подставляя ее решение в (5), где $A_j(p)$ следует заменить на $B_j(p)$, получаем равенства:

$$\left. \left(\frac{\partial u_\theta}{\partial r} \right)^* \right|_{\theta=\alpha+0} = \frac{1+\nu_1}{2E_1} \delta_B^{-1}(p) \{ -(1+\varkappa_1) [\cos 2p(\pi-\alpha) - \cos 2\alpha] \sigma_\theta^*(p, \alpha) + \\ + [(1-\varkappa_1) \sin 2p(\pi-\alpha) - 2p \sin 2\alpha + (1+\varkappa_1) \sin 2\alpha] \tau_{r\theta}^*(p, \alpha) \}; \quad (9)$$

$$\left. \left(\frac{\partial u_r}{\partial r} \right)^* \right|_{\theta=\alpha+0} = -\frac{1+\nu_1}{2E_1} \delta_B^{-1}(p) \{ [(1-\varkappa_1) \sin 2p(\pi-\alpha) - 2p \sin 2\alpha - \\ - (1+\varkappa_1) \sin 2\alpha] \sigma_\theta^*(p, \alpha) + (1+\varkappa_1) [\cos 2p(\pi-\alpha) + \cos 2\alpha] \tau_{r\theta}^*(p, \alpha) \};$$

$$\delta_B(p) = \sin 2p(\pi-\alpha) - p \sin 2\alpha.$$

С помощью (1), (7), (9) получаем соотношения, связывающие трансформанты $\sigma_\theta^*(p, \alpha)$, $\tau_{r\theta}^*(p, \alpha)$, $\sigma_\theta^*(p, 0)$:

$$A_{11} \sigma_\theta^*(p, \alpha) + A_{12} \tau_{r\theta}^*(p, \alpha) = b_1 \sigma_\theta^*(p, 0); \quad A_{21} \sigma_\theta^*(p, \alpha) + A_{22} \tau_{r\theta}^*(p, \alpha) = b_2 \sigma_\theta^*(p, 0);$$

$$A_{11} = \frac{1+\nu_2}{E_2} (1+\varkappa_2) (\sin 2p\alpha + p \sin 2\alpha) \delta_A^{-1}(p) - \\ - \frac{1+\nu_1}{2E_1} (1+\varkappa_1) [\cos 2p(\pi-\alpha) - \cos 2\alpha] \delta_B^{-1}(p);$$

$$A_{12} = \frac{2(1+\nu_2)}{E_2} [(1-\varkappa_2) \sin^2 p\alpha - 2p^2 \sin^2 \alpha + (1+\varkappa_2) p \sin^2 \alpha] \delta_A^{-1}(p) + \\ + \frac{1+\nu_1}{2E_1} [(1-\varkappa_1) \sin 2p(\pi-\alpha) - 2p \sin 2\alpha + (1+\varkappa_1) \sin 2\alpha] \delta_B^{-1}(p);$$

$$A_{21} = -\frac{2(1+\nu_2)}{E_2} [(1-\varkappa_2) \sin^2 p\alpha - 2p^2 \sin^2 \alpha - (1+\varkappa_2) p \sin^2 \alpha] \delta_A^{-1}(p) - \\ - \frac{1+\nu_1}{2E_1} [(1-\varkappa_1) \sin 2p(\pi-\alpha) - 2p \sin 2\alpha - (1+\varkappa_1) \sin 2\alpha] \delta_B^{-1}(p);$$

$$\begin{aligned}
A_{22} &= \frac{1+\nu_2}{E_2}(1+\varkappa_2)(\sin 2p\alpha - p \sin 2\alpha)\delta_A^{-1}(p) - \\
&\quad - \frac{1+\nu_1}{2E_1}(1+\varkappa_1)[\cos 2p(\pi - \alpha) + \cos 2\alpha]\delta_B^{-1}(p); \\
b_1 &= \frac{2(1+\nu_2)}{E_2}(1+\varkappa_2)(\sin p\alpha \cos \alpha + p \cos p\alpha \sin \alpha)\delta_A^{-1}(p); \\
b_2 &= \frac{2(1+\nu_2)}{E_2}(1+\varkappa_2)(p+1)\sin p\alpha \sin \alpha \delta_A^{-1}(p).
\end{aligned}$$

В результате решения этой системы имеем

$$\sigma_\theta^*(p, \alpha) = \frac{(1+\varkappa_2)E_2}{1+\nu_2} \frac{N_1(p)}{D(p)} \sigma_\theta^*(p, 0); \quad \tau_{r\theta}^*(p, \alpha) = \frac{(1+\varkappa_2)E_2}{1+\nu_2} \frac{N_2(p)}{D(p)} \sigma_\theta^*(p, 0);$$

$$\begin{aligned}
N_1(p) &= \frac{1+\nu_2}{E_2}[\sin 2p(\pi - \alpha) - p \sin 2\alpha][\{(1+\varkappa_2)\cos p\alpha \cos \alpha - (2p+1-\varkappa_2)\sin p\alpha \sin \alpha\} + \\
&\quad + \frac{1+\nu_1}{E_1}\{(1+\varkappa_1)(\sin p\alpha \cos \alpha + p \cos p\alpha \sin \alpha)[\cos 2p(\pi - \alpha) + \cos 2\alpha] + \\
&\quad + (p+1)[(1-\varkappa_1)\sin 2p(\pi - \alpha) - 2p \sin 2\alpha + (1+\varkappa_1)\sin 2\alpha]\sin p\alpha \sin \alpha\}; \quad (10)
\end{aligned}$$

$$\begin{aligned}
N_2(p) &= \frac{1+\nu_2}{E_2}[\sin 2p(\pi - \alpha) - p \sin 2\alpha][\{(1-\varkappa_2)\sin p\alpha \cos \alpha + (2p+1+\varkappa_2)\cos p\alpha \sin \alpha\} + \\
&\quad + \frac{1+\nu_1}{E_1}\{(1+\varkappa_1)(p+1)[\cos 2p(\pi - \alpha) - \cos 2\alpha]\sin p\alpha \sin \alpha - \\
&\quad - (\sin p\alpha \cos \alpha + p \cos p\alpha \sin \alpha)[(1-\varkappa_1)\sin 2p(\pi - \alpha) - 2p \sin 2\alpha - (1+\varkappa_1)\sin 2\alpha]\}; \\
D(p) &= [\sin 2p(\pi - \alpha) - p \sin 2\alpha][\{(1+\varkappa_2)^2 - 4(\varkappa_2 \sin^2 p\alpha + p^2 \sin^2 \alpha)\} + \\
&\quad + \{(1+\varkappa_1)(1+\varkappa_2)\sin 2p\pi + 4(\sin^2 p\alpha - p^2 \sin^2 \alpha)[\varkappa_1 \sin 2p(\pi - \alpha) + p \sin 2\alpha]\} - \\
&\quad - [\sin 2p(\pi - \alpha) - p \sin 2\alpha][\{(1+\varkappa_1)(1+\varkappa_2) - 4(\varkappa_2 \sin^2 p\alpha + p^2 \sin^2 \alpha)\}]\frac{1+\nu_1}{1+\nu_2} \frac{E_2}{E_1} - \\
&\quad - 4(\sin^2 p\alpha - p^2 \sin^2 \alpha)[\varkappa_1 \sin 2p(\pi - \alpha) + p \sin 2\alpha]\left(\frac{1+\nu_1}{1+\nu_2} \frac{E_2}{E_1}\right)^2.
\end{aligned}$$

Подставляя (10) в (8), получаем соотношение, связывающее трансформанты $\sigma_\theta^*(p, 0)$ и $(\partial u_\theta / \partial r)|_{\theta=0}$

$$\sigma_\theta^*(p, 0) = \frac{\Delta(p)}{2\Delta_0(p)} \frac{E_2}{2(1-\nu_2^2)} \left(\frac{\partial u_\theta}{\partial r}\right)|_{\theta=0}^*; \quad (11)$$

$$\begin{aligned}
\Delta_0(p) &= (\sin 2p\alpha + p \sin 2\alpha) [\mathfrak{a}_1 \sin 2p(\pi - \alpha) + p \sin 2\alpha] + \\
&+ \left\{ (1 + \mathfrak{a}_1)(1 + \mathfrak{a}_2) \sin^2 p\pi - (\sin 2p\alpha + p \sin 2\alpha) [\mathfrak{a}_1 \sin 2p(\pi - \alpha) + p \sin 2\alpha] - \right. \\
&\quad \left. - [\sin 2p(\pi - \alpha) - p \sin 2\alpha] (\mathfrak{a}_2 \sin 2p\alpha - p \sin 2\alpha) \right\} e + \\
&\quad + [\sin 2p(\pi - \alpha) - p \sin 2\alpha] (\mathfrak{a}_2 \sin 2p\alpha - p \sin 2\alpha) e^2; \\
\Delta(p) &= -4(\sin^2 p\alpha - p^2 \sin^2 \alpha) [\mathfrak{a}_1 \sin 2p(\pi - \alpha) + p \sin 2\alpha] + \\
&+ \left\{ (1 + \mathfrak{a}_1)(1 + \mathfrak{a}_2) \sin 2p\pi + 4(\sin^2 p\alpha - p^2 \sin^2 \alpha) [\mathfrak{a}_1 \sin 2p(\pi - \alpha) + p \sin 2\alpha] - \right. \\
&\quad \left. - [\sin 2p(\pi - \alpha) - p \sin 2\alpha] [(1 + \mathfrak{a}_1)(1 + \mathfrak{a}_2) - 4(\mathfrak{a}_2 \sin^2 p\alpha + p^2 \sin^2 \alpha)] \right\} e + \\
&\quad + [\sin 2p(\pi - \alpha) - p \sin 2\alpha] [(1 + \mathfrak{a}_2)^2 - 4(\mathfrak{a}_2 \sin^2 p\alpha + p^2 \sin^2 \alpha)] e^2.
\end{aligned}$$

Принимая во внимание второе из условий (2) и условие (4), получаем

$$\begin{aligned}
\sigma_\theta^*(p, 0) &= l^{p+1} \left[\Phi^+(p) + \frac{s}{p + \lambda_0 + 1} \right]; \quad \frac{E_2}{2(1 - v_2^2)} \left(\frac{\partial u_\theta}{\partial r} \right) \Big|_{\theta=0}^* = l^{p+1} \Phi^-(p); \quad (12) \\
\Phi^+(p) &= \int_1^\infty \sigma_\theta(\rho l, 0) \rho^p d\rho; \quad \Phi^-(p) = \frac{E_2}{2(1 - v_2^2)} \int_0^1 \frac{\partial u_\theta}{\partial r} \Big|_{\theta=0}^{\rho l} \rho^p d\rho; \quad s = -Cgl^{\lambda_0}.
\end{aligned}$$

Функция $\Phi^+(p)$ аналитична в полуплоскости $\operatorname{Re} p < \delta$ (δ – достаточно малое положительное число), а функция $\Phi^-(p)$ – аналитична в полуплоскости $\operatorname{Re} p > -\varepsilon$.

Подставляя (12) в (11), приходим к следующему функциональному уравнению Винера–Хопфа относительно неизвестных функций $\Phi^+(p)$ и $\Phi^-(p)$:

$$\Phi^+(p) + \frac{s}{p + \lambda_0 + 1} = \frac{\Delta(p)}{2\Delta_0(p)} \Phi^-(p) \quad (-\varepsilon < \operatorname{Re} p < \delta). \quad (13)$$

3. Решение уравнения Винера – Хопфа.

Функциональное уравнение (13) представим так:

$$\Phi^+(p) + \frac{s}{p + \lambda_0 + 1} = \operatorname{ctg} p\pi G(p) \Phi^-(p); \quad (14)$$

$$G(p) = \frac{\Delta(p) \sin p\pi}{2\Delta_0(p) \cos p\pi} \quad (-\varepsilon < \operatorname{Re} p < \delta).$$

Функция $G(it)$ ($-\infty < t < \infty$) представляет собой действительную положительную четную функцию t , стремящуюся к единице при $t \rightarrow \infty$. Следовательно, индекс функции $G(p)$ по мнимой оси равен нулю. Поскольку, кроме того, функция $G(p)$ на мнимой оси удовлетворяет условию Гёльдера, имеет место факторизация [2]

$$G(p) = \frac{G^+(p)}{G^-(p)} \quad (\operatorname{Re} p = 0); \quad \exp \left[\frac{1}{2\pi i} \int_{-i\infty}^{i\infty} \frac{\ln G(z)}{z-p} dz \right] = \begin{cases} G^+(p) & (\operatorname{Re} p < 0); \\ G^-(p) & (\operatorname{Re} p > 0). \end{cases} \quad (15)$$

Функция $G^+(p)$ – аналитична, не имеет нулей и стремится к единице при $p \rightarrow \infty$ в полуплоскости $\operatorname{Re} p < 0$, а функция $G^-(p)$ – аналитична, не имеет нулей и стремится к единице при $p \rightarrow \infty$ в полуплоскости $\operatorname{Re} p > 0$.

Функцию $p \operatorname{ctg} p\pi$ можно факторизовать так [7]:

$$p \operatorname{ctg} p\pi = K^+(p)K^-(p); \quad K^\pm(p) = \frac{\Gamma(1 \mp p)}{\Gamma(1/2 \mp p)} \quad (16)$$

($\Gamma(z)$ – гамма-функция). Функция $K^+(p)$ – аналитична и не имеет нулей в полуплоскости $\operatorname{Re} p < 1/2$, а функция $K^-(p)$ – аналитична и не имеет нулей в полуплоскости $\operatorname{Re} p > -1/2$. Справедливы асимптотики

$$K^+(p) \sim \sqrt{-p}, \quad K^-(p) \sim \sqrt{p} \quad (p \rightarrow \infty). \quad (17)$$

С помощью факторизаций (15), (16) уравнение (14) представим в виде

$$\frac{\Phi^+(p)}{K^+(p)G^+(p)} + \frac{s}{(p+\lambda_0+1)K^+(p)G^+(p)} = \frac{K^-(p)\Phi^-(p)}{pG^-(p)} \quad (\operatorname{Re} p = 0). \quad (18)$$

Имеет место представление

$$\frac{s}{(p+\lambda_0+1)K^+(p)G^+(p)} = \frac{s}{p+\lambda_0+1} \left[\frac{1}{K^+(p)G^+(p)} - \frac{1}{K^+(-\lambda_0-1)G^+(-\lambda_0-1)} \right] + \frac{s}{(p+\lambda_0+1)K^+(-\lambda_0-1)G^+(-\lambda_0-1)} \quad (\operatorname{Re} p = 0). \quad (19)$$

Подставляя (19) в (18), получаем

$$\begin{aligned} \frac{\Phi^+(p)}{K^+(p)G^+(p)} + \frac{s}{(p+\lambda_0+1)} \left[\frac{1}{K^+(p)G^+(p)} - \frac{1}{K^+(-\lambda_0-1)G^+(-\lambda_0-1)} \right] &= \\ = \frac{K^-(p)\Phi^-(p)}{pG^-(p)} - \frac{s}{(p+\lambda_0+1)K^+(-\lambda_0-1)G^+(-\lambda_0-1)} & \quad (\operatorname{Re} p = 0). \end{aligned} \quad (20)$$

Функция в левой части (20) – аналитична в полуплоскости $\operatorname{Re} p < 0$, а функция в правой части (20) – аналитична в полуплоскости $\operatorname{Re} p > 0$. В силу принципа аналитического продолжения эти функции равны одной и той же функции, аналитической во всей плоскости p .

Исходя из известных асимптотик [12]

$$\theta = 0, r \rightarrow l+0, \sigma_\theta \sim \frac{K_I}{\sqrt{2\pi(r-l)}}; \quad \theta = 0, r \rightarrow l-0, \frac{\partial u_\theta}{\partial r} \sim -\frac{2(1-\nu_2^2)}{E_2} \frac{K_I}{\sqrt{2\pi(l-r)}}$$

(K_I – коэффициент интенсивности напряжений в конце трещины), по теореме абелева типа [11] получим

$$\Phi^+(p) \sim \frac{K_I}{\sqrt{-2pl}}, \quad \Phi^-(p) \sim -\frac{K_I}{\sqrt{2pl}} \quad (p \rightarrow \infty). \quad (21)$$

Из (15), (17), (21) следует, что функции в левой и правой частях (20) стремятся к нулю при $p \rightarrow \infty$ в полуплоскостях $\operatorname{Re} p < 0$ и $\operatorname{Re} p > 0$, соответственно. В силу теоремы Лиувилля [7] единая аналитическая функция тождественно равна нулю во всей плоскости p .

Таким образом, решение уравнения Винера – Хопфа (14) имеет вид

$$\Phi^+(p) = \frac{sK^+(p)G^+(p)}{p + \lambda_0 + 1} \left[\frac{1}{K^+(-\lambda_0 - 1)G^+(-\lambda_0 - 1)} - \frac{1}{K^+(p)G^+(p)} \right] \quad (\operatorname{Re} p < 0); \quad (22)$$

$$\Phi^-(p) = \frac{s p G^-(p)}{K^+(-\lambda_0 - 1)G^+(-\lambda_0 - 1)(p + \lambda_0 + 1)K^-(p)} \quad (\operatorname{Re} p > 0).$$

4. Исследование напряженного состояния вблизи конца трещины.

С помощью (22) находим асимптотику

$$\Phi^-(p) \sim \frac{s}{K^+(-\lambda_0 - 1)G^+(-\lambda_0 - 1)\sqrt{p}} \quad (p \rightarrow \infty). \quad (23)$$

Согласно (21), (23), получаем следующую формулу для коэффициента интенсивности напряжений в конце маломасштабной трещины нормального разрыва, зародившейся в угловой точке границы раздела сред:

$$K_I = K_I^0 |C| l^{\lambda_0 + 1/2}; \quad K_I^0 = \frac{\sqrt{2} |g| \Gamma(\lambda_0 + 3/2)}{\Gamma(\lambda_0 + 2) G^+(-\lambda_0 - 1)}. \quad (24)$$

В случае $C > 0$ (когда угол α должен быть тупым) зависимости безразмерного коэффициента интенсивности напряжений K_I^0 от угла α (в градусах) для различных значений отношения модулей Юнга $e_0 = E_1/E_2$ изображены на рис. 5 ($\nu_1 = \nu_2 = 0,3$).

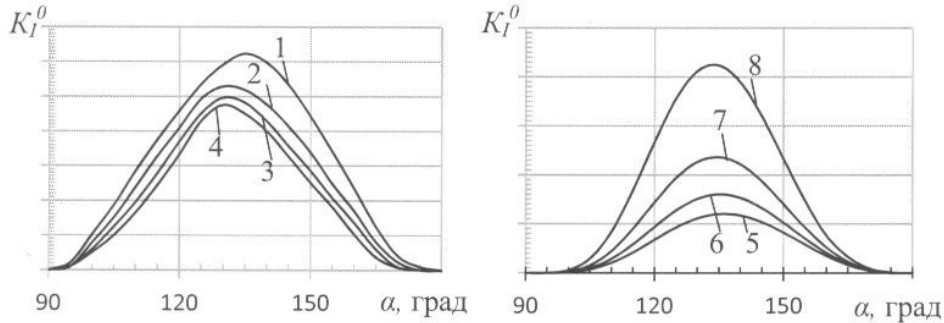


Рис. 5

Кривые 1 – 8 соответствуют значениям e_0 , равным, соответственно, 0,1; 0,2; 0,3; 0,5; 2; 3; 5; 10. Если значения e_0 равны 0,1; 0,2; 0,3; 0,5; 2; 3; 5; 10, то значения α_{\max} (в градусах) угла α , при которых функция $K_I^0(\alpha)$ достигает своего наибольшего значения, и соответствующие ее значения таковы: 138,2; 134,3; 130,1; 128,4; 139,2; 135,4; 134,1; 132,4 и 6,2271; 5,2894; 4,9612; 4,7523; 1,2025; 1,6012; 2,3644; 4,2363.

В случае $C < 0$ (когда угол α должен быть острым) аналогичные зависимости изображены на рис. 6, а значения α_{\max} и $K_I^0(\alpha_{\max})$ – 44,3; 39,1; 36,1; 33,2; 42,4; 37,1; 35,3; 33,5 и 5,0454; 3,8021; 3,3715; 3,1442; 2,0224; 2,3371; 2,7663; 4,5121.

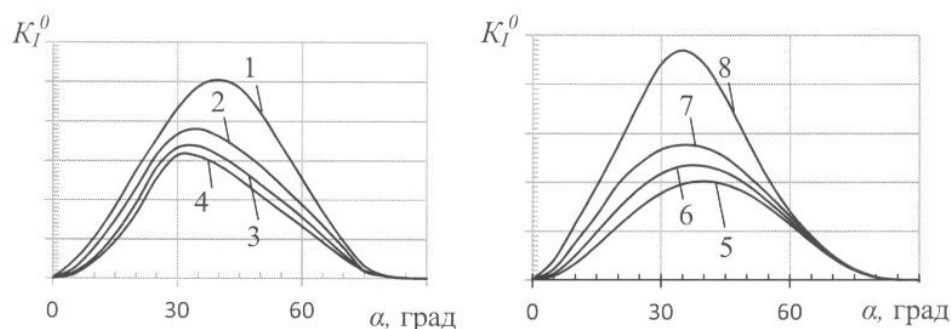


Рис. 6

Анализ полученных результатов позволяет сделать следующие выводы: 1) с ростом угла α интенсивность напряжений вблизи конца трещины сначала увеличивается, а затем уменьшается; 2) чем меньше $e_0 < 1$ и чем больше $e_0 > 1$, тем больше интенсивность напряжений вблизи конца трещины; 3) с ростом $e_0 < 1$ и с ростом $e_0 > 1$ угол наибольшей интенсивности напряжений уменьшается.

Пользуясь силовым критерием разрушения [12], и приравняв правую часть (24) к критическому значению коэффициента интенсивности напряжений K_{Ic} , которое является заданной постоянной материала, приходим к уравнению для определения разрушающей нагрузки

$$|C(\sigma)| = \frac{K_{Ic}}{K_I^0 l^{\lambda_0 + 1/2}} \quad (25)$$

(σ – параметр, характеризующий внешнюю нагрузку).

Таким образом, страгивание трещины произойдет тогда, когда внешняя нагрузка достигнет своего предельного значения, представляющего собой решение уравнения (25).

Поскольку $\lambda_0 > -1/2$ и $Cg > 0$, согласно (24) определяем

$$\frac{\partial K_I}{\partial l} = \frac{\sqrt{2}(\lambda_0 + 1/2)g\Gamma(\lambda_0 + 3/2)}{\Gamma(\lambda_0 + 2)G^+(-\lambda_0 - 1)} Cl^{\lambda_0 - 1/2} > 0.$$

Следовательно, в силу критерия устойчивости равновесия трещин нормального разрыва [12], равновесие маломасштабной трещины, зародившейся в угловой точке границы раздела сред, неустойчиво. После достижения состояния предельного равновесия режим развития трещины будет динамическим.

5. Анализ поведения напряжений вблизи угловой точки.

Подставляя (22) в (12), используя (11) и применяя формулу обращения Меллина [16], получаем

$$\left. \frac{\partial u_\theta}{\partial r} \right|_{\theta=0} = \frac{1}{2\pi i} \int_{\gamma} \frac{-4(1-\nu_2^2)g\Delta_0(p)K^+(p)G^+(p)Cl^{p+\lambda_0+1}}{E_2K^+(-\lambda_0-1)G^+(-\lambda_0-1)(p+\lambda_0+1)\Delta(p)} r^{-p-1} dp$$

(γ – произвольная прямая, лежащая в полосе $-\varepsilon < \text{Re } p < 0$).

В силу теоремы о вычетах имеем

$$\frac{\partial u_\theta}{\partial r} \Big|_{\theta=0} = -\frac{4(1-\nu_2^2)}{E_2} f(\alpha, e_0, \nu_1, \nu_2) Cl^{\lambda_0-\lambda_1} r^{\lambda_1} + o(r^{\lambda_1}) \quad (r \rightarrow 0);$$

$$f(\alpha, e_0, \nu_1, \nu_2) = \frac{g\Delta_0(-\lambda_1-1)\Gamma(\lambda_0+3/2)\Gamma(\lambda_1+2)G^+(-\lambda_1-1)}{(\lambda_0-\lambda_1)\Delta'(-\lambda_1-1)\Gamma(\lambda_0+2)\Gamma(\lambda_1+3/2)G^+(-\lambda_0-1)};$$

$$\Delta'(p) = \frac{d\Delta(p)}{dp}.$$

Здесь $\lambda_1 \in]-1; 0[$ – ближайший к прямой $\operatorname{Re} \lambda = -1$ корень уравнения $\Delta(-\lambda-1) = 0$ в полосе $-1 < \operatorname{Re} \lambda < 0$.

Зависимость корня λ_1 от угла α качественно показана на рис. 7. Некоторые значения λ_1 приведены в табл. 2 ($\nu_1 = \nu_2 = 0,3$).

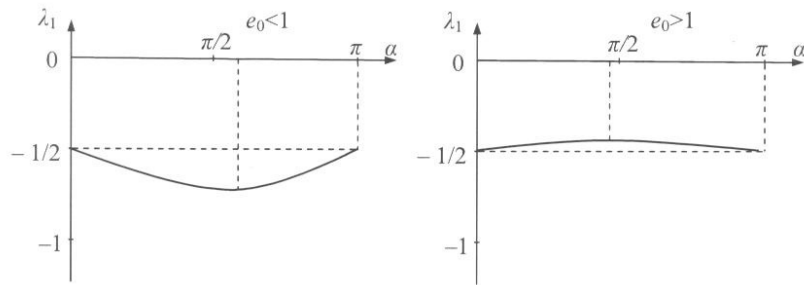


Рис. 7

Таблица 2

α , град	e_0							
	0,1	0,2	0,3	0,5	2	3	5	10
15	-0,509	-0,505	-0,502	-0,501	-0,499	-0,499	-0,499	-0,499
30	-0,543	-0,525	-0,515	-0,509	-0,494	-0,492	-0,491	-0,489
45	-0,599	-0,560	-0,538	-0,523	-0,482	-0,475	-0,468	-0,462
60	-0,665	-0,604	-0,567	-0,541	-0,464	-0,445	-0,426	-0,408
75	-0,719	-0,647	-0,597	-0,559	-0,445	-0,415	-0,381	-0,342
90	-0,755	-0,679	-0,620	-0,574	-0,437	-0,407	-0,376	-0,347
105	-0,771	-0,694	-0,631	-0,579	-0,441	-0,417	-0,397	-0,382
120	-0,766	-0,688	-0,624	-0,574	-0,451	-0,433	-0,419	-0,409
135	-0,740	-0,661	-0,602	-0,559	-0,462	-0,448	-0,435	-0,425
150	-0,690	-0,616	-0,569	-0,538	-0,474	-0,462	-0,448	-0,430
165	-0,614	-0,561	-0,534	-0,518	-0,487	-0,479	-0,468	-0,439

Из полученных результатов следуют такие выводы.

Угловая точка O (рис. 4) является концентратором напряжений со степенной особенностью. Показатель степени сингулярности напряжений λ_1 зависит от угла, отношения модулей Юнга и от коэффициентов Пуассона. Этот показатель представляет собой корень определенного трансцендентного уравнения.

Пусть отношение модулей Юнга $e_0 = E_1 / E_2 < 1$. С ростом угла α интенсивность напряжений вблизи угловой точки сначала увеличивается, а затем уменьшается. Угол наибольшей интенсивности напряжений – тупой. С ростом e_0 интенсивность напряжений и угол наибольшей интенсивности напряжений уменьшаются. Значениям e_0 , равным 0,1; 0,2; 0,3; 0,5, соответствуют значения угла (в градусах) наибольшей интенсивности напряжений, равные 109,1; 108,4; 106,4; 103,3 ($\nu_1 = \nu_2 = 0,3$).

Пусть $e_0 > 1$. С ростом угла α интенсивность напряжений вблизи угловой точки сначала уменьшается, а затем увеличивается. Угол наименьшей интенсивности напряжений – острый. С ростом e_0 интенсивность напряжений и угол наименьшей интенсивности напряжений уменьшаются. Значениям e_0 , равным 2; 3; 5; 10, соответствуют значения угла (в градусах) наименьшей интенсивности напряжений, равные 87,2; 85,1; 83,2; 82,4.

Заключение.

В данной работе построено точное решение симметричной задачи теории упругости для кусочно-однородной плоскости с границей раздела сред в форме сторон угла, трещиной в вершине и учитывающим внешнее поле условием на бесконечности. Установлен характер изменения уровня интенсивности напряжений вблизи конца маломасштабной трещины нормального разрыва в угловой точке границы раздела изотропных линейно-упругих сред в зависимости от угла и упругих постоянных. Определено условие страгивания трещины и показано, что ее равновесие неустойчиво. Дан анализ поведения напряжений вблизи угловой точки.

Р Е З Ю М Е . Досліджено напружений стан кусково-однорідного ізотропного пружного тіла біля маломасштабної тріщини нормального розриву у кутовій точці межі поділу середовищ. Точний розв'язок відповідної задачі теорії пружності побудовано методом Вінера – Хопфа.

1. Банцури Р. Д. Решение первой основной задачи теории упругости для клина, имеющего конечный разрез // Докл. АН СССР. – 1966. – 167, № 6. – С. 1256 – 1259.
2. Гахов Ф.Д. Краевые задачи. – М.: Наука, 1977. – 640 с.
3. Каминский А.А., Дудик М.В., Кипнис Л.А. О начальном повороте трещины, расположенной на границе раздела двух упругих сред // Прикл. механика. – 2007. – 43, № 10. – С. 28 – 41.
4. Каминский А.А., Кипнис Л.А., Колмакова В.А. О модели зоны предразрушения в конце трещины, выходящей на негладкую границу раздела упругих сред // Прикл. механика. – 2008. – 44, № 10. – С. 13 – 22.
5. Каминский А.А., Кипнис Л.А., Хазин Г.А. Расчет пластической зоны в угловой точке в рамках модели “трезубец” // Прикл. механика. – 2002. – 38, № 5. – С. 110 – 116.
6. Кулиев В.Д., Работнов Ю.Н., Черепанов Г.П. Торможение трещины на границе раздела различных упругих сред // Изв. АН СССР. Механика твердого тела. – 1978. – № 4. – С. 120 – 128.
7. Лаврентьев М.А., Шабат Б.В. Методы теории функций комплексного переменного. – М.: Наука, 1973. – 736 с.
8. Лобода В.В., Шевелева А.Е. Определение зон предразрушения у края трещины между двумя упругими ортотропными телами // Прикл. механика. – 2003. – 39, № 5. – С. 76 – 82.
9. Назаренко В.М., Кипнис А.Л. Об интенсивности напряжений в концах межфазных сдвиговых трещин в угловой точке границы раздела сред // Доп. НАН України. – 2015. – № 8. – С. 58 – 63.
10. Некислых Е.М., Острик В.И. Задачи об упругом равновесии клина с трещинами на оси симметрии // Изв. РАН. Механика твердого тела. – 2010. – № 5. – С. 111 – 129.
11. Нобл Б. Применение метода Винера – Хопфа для решения дифференциальных уравнений в частных производных. – М.: Изд-во иностр. лит., 1962. – 279 с.
12. Панасюк В.В., Анорейкив А.Е., Партон В.З. Основы механики разрушения материалов. – К.: Наукова думка, 1988. – 488 с.
13. Партон В.З., Перлин П.И. Методы математической теории упругости. – М.: Наука, 1981. – 688 с.

14. *Сметанин Б.И.* Некоторые задачи о щелях в упругом клине и слое // Изв. АН СССР. Механика твердого тела. – 1968. – № 2. – С. 115 – 122.
15. *Сметанин Б.И.* Об одной смешанной задаче теории упругости для клина // Прикл. математика и механика. – 1968. – **32**, № 4. – С. 708 – 714.
16. *Уфлянд Я.С.* Интегральные преобразования в задачах теории упругости. – Л.: Наука, 1967. – 402 с.
17. *Храпков А.А.* Задачи об упругом равновесии бесконечного клина с несимметричным надрезом в вершине, разрешимые в замкнутой форме // Прикл. математика и механика. – 1971. – **35**, № 6. – С. 1062 – 1069.
18. *Bogdanov V.L., Guz A.N., Nazarenko V.M.* Spatial Problems of the Fracture of Materials Loaded Along Cracks (Review) // Int. Appl. Mech. – 2015. – **51**, N 5. – P. 489 – 560.
19. *Dempsey J.P., Sinclair G.B.* On the singular behavior at the vertex of a bi-material wedge // J. Elast. – 1981. – **11**, N 3. – P. 317 – 327.
20. *Doran H.E.* The wedge with a symmetric crack at the vertex in plane elastostatics // J. Inst. Math. and Appl. – 1969. – **5**, N 4. – P. 363 – 372.
21. *Guz A.N., Dekret V.A.* Finite-Fiber Model in the Three-Dimensional Theory of Stability of Composites (Review) // Int. Appl. Mech. – 2016. – **52**, N 1. – P. 1 – 48.
22. *Kalorov S.A., Samodurov A.A.* Problem of Electromagnetoviscoelasticity for Multiply Connected Plates // Int. Appl. Mech. – 2015. – **51**, N 6. – P. 623 – 639.
23. *Kaminsky A.A., Kurchakov E.E.* Influence of Tension Along a Mode I Crack in an Elastic Body on the Formation of a Nonlinear Zone // Int. Appl. Mech. – 2015. – **51**, N 2. – P. 130 – 148.
24. *Keer L.M., Mendelsohn D.A., Achenbach J.D.* Crack at the apex of a loaded notch // Int. J. Solids and Struct. – 1977. – **13**, N 7. – P. 615 – 623.
25. *Ouchterlony F.* Symmetric cracking of a wedge by concentrated loads // Int. J. Eng. Sci. – 1977. – **15**, N 2. – P. 109 – 116.
26. *Srivastav R.P., Narain P.* Certain two-dimensional problems of stress distribution in wedge shaped elastic solids under discontinuous loads // Proc. Camb. Phil. Soc. – 1965. – **61**, N 4. – P. 945 – 954.
27. *Stone S.F., Westmann R.A.* Stress intensity factors for cracked wedges // Int. J. Solids and Struct. – 1981. – **17**, N 3. – P. 345 – 358.
28. *Theocaris P.S., Gdoutos E.E.* Stress singularities in cracked composite full-planes // Int. J. Fract. – 1977. – **13**, N 6. – P. 763 – 773.

Поступила 02.07.2017

Утверждена в печать 22.05.2018

